

# MUTFAK UYGULAMALARI İÇİN YARIM KÖPRÜ SERİ REZONANS İNVERTÖRLÜ İNDÜKSİYON ISITMA SİSTEMİ TASARIMI

**Selim KÖROĞLU\*, Bekir Sami SAZAK\*\***

\*Pamukkale Üniversitesi, Mühendislik Fakültesi, Elektrik-Elektronik Mühendisliği Bölümü, Çamlık/Denizli

\*\* Pamukkale Üniversitesi, Teknik Eğitim Fakültesi, Elektrik Eğitimi Bölümü, Kampüs/Denizli

Geliş Tarihi : 15.03.2002

## ÖZET

Elektromanyetik indüksiyon yolu ile ısıtma endüstride metallerin ısıtilması, eritilmesi, şekil verilmesi ve yüzey sertleştirme uygulamalarında tercih edilmektedir. Bu çalışmada indüksiyon ısıtmanın mutfak uygulamalarında da kullanılabilceği gösterilmiştir. Bu amaçla, bobin tasarımını da kapsayan komple bir indüksiyon ısıtma sistemi tasarlanmıştır, küçük güçlü bir prototipi gerçekleştirilmiş ve test edilmiştir. Sunulan sistemde rezonans anahtarlama tekniği kullanılmış ve bu sayede anahtarlama kayipları önemli ölçüde azaltılmıştır. Yapılan hesaplamalar sonucu sunulan sistemin, bilinen mutfak ısıtıcıları ile kıyaslandığında oldukça yüksek verime sahip olduğu görülmüştür.

**Anahtar Kelimeler :** İndüksiyon ısıtma, Pancake bobin, Rezonans invertör

## DESING OF AN INDUCTION HEATING SYSTEM WITH A HALF BRIDGE SERIES RESONANT INVERTER FOR DOMESTIC COOKING APPLICATIONS

## ABSTRACT

The technique of heating by electromagnetic induction is a well established and an invaluable tool for industries engaged in the heat treatment of hot working of metals. In this study, it is shown that induction heating can successfully be applied for domestic cooking applications. For this purpose, a complete induction heating system has been designed and a prototype of the proposed system has been built and tested. By the use of resonant technique, switching losses have been reduced significantly. Coil design procedure of the proposed system was also given. It is shown that induction heating system has many advantages among the conventional heaters.

**Key Words :** Induction heating, Pancake coil, Resonant inverter

## 1. GİRİŞ

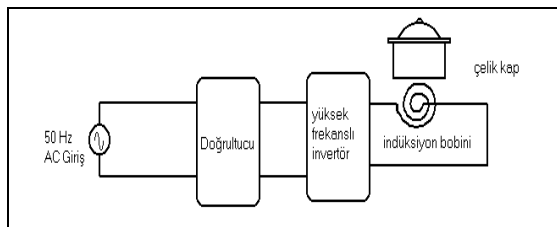
İndüksiyon ısıtma sistemlerinin temeli 1831 yılında Michael Faraday'ın ortaya koyduğu Faraday Kanunu olarak anılan elektromanyetik indüksiyonla başlamıştır. Bu konuda ilk yazılı eser Heaviside tarafından yayınlanmıştır (Heaviside, 1884). İndüksiyon ısıtma sistemleri ile ısıtma, eritme, kaynak yapma, tavlama, haddeleme, sertleştirme,

yüzey sertleştirme vb. endüstriyel işlemler yapılmaktadır (Davies, 1979).

Rezistanslı ve gazlı firmalarda isının büyük bir kısmı çevreye yayılır. İndüksiyon fırınlarında ise enerjinin tamamına yakın yük üzerine aktarılır. Dolayısıyla termal verimliliği yüksektir. Son yıllarda indüksiyon ısıtmanın mutfak uygulamalarında kullanımı gündeme gelmiş ve bu konuda çeşitli araştırmalar

yapılmıştır. (Hirota et al., 1996; Wang et al., 1998; Körögölu, 2002).

Bu çalışmada IGBT transistörlerin anahtarlama elemanı olarak kullanıldığı, yüksek frekanslı yarım köprü seri rezonans invertörlü mutfak tipi bir indüksiyon ısıtma sistemi gerçekleştirilmiştir. Sistemin blok diyagramı Şekil 1'de gösterilmektedir. AC giriş tam dalga bir doğrultucu tarafından doğrultularak DC/AC bir invertör yardımıyla yüksek frekanslı bir işaretre dönüştürülür. Bu işaret tencerenin yapısıyla uygun bir şekilde tasarlanan pancake tasarımlı indüksiyon bobinini besler. Bobindeki yüksek frekanslı akım bobin üzerindeki metal kapta bir gerilim indükler. Indüklenen bu gerilimden dolayı oluşan Eddy akımları malzemenin isınmasını sağlar (Şekil 1).



Şekil 1. Ev tipi indüksiyon ısıtma sisteminin blok diyagramı

İvertörlerde enerji depolama ve aktarma elemanlarının boyut ve ağırlığının azaltılması için, anahtarlama frekansı artırılır. Ancak bunu yapmakla anahtarlama kayıpları ve manyetik parazitler (EMI) artar (Sazak, 1997). Rezonans invertör kullanılarak sıfır akımda tetikleme yapılrsa bu kayıplar ve parazitler en aza indirilmiş olur (Ogiwara et al., 1993; Wong et al., 1997; Sazak ve Jayne, 1999).

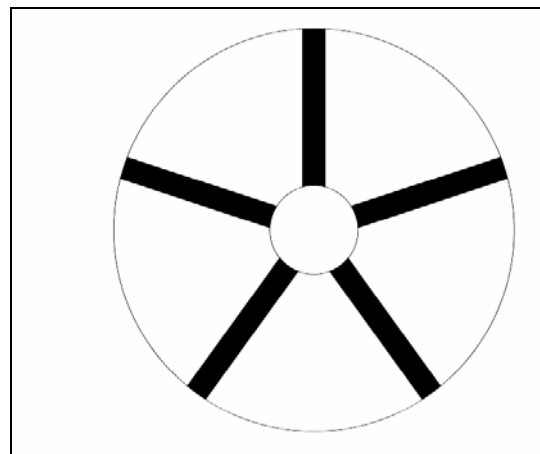
Sunulan sistem yardımıyla indüksiyon ısıtmanın ev tipi uygulamalarda verimli olarak kullanılabileceği gösterilmiştir. Rezonans invertör yardımıyla anahtar kayıpları azaltılmış buna bağlı olarak manyetik parazitler önlenmiştir. Böylelikle verimli, temiz ve güvenli bir enerji dönüşümü sağlanmıştır.

## 2. İNDÜKSİYON ISITMA BOBİNİ TASARIMI

Bir indüksiyon ısıtma sisteminin önemli aşamalarından biri bobin tasarımidır. İndüksiyon ısıtma sistemlerinde kullanılacak bobin tipi, işlenecek parçanın geometrik yapısı, materyalin türü, yapılacak işlem türü vb. parametrelerle bağlı olarak değişik şekillerde olabilir. İndüksiyon bobini tencerenin yapısına uyacak şekilde tasarlanmalıdır. Bu amaçla helisel, basket ve pancake bobin gibi değişik şekilli bobinler kullanılabilir. Düz tencere,

tava vb gibi mutfak gereçleri için en uygun bobin tipi pancake bobinlerdir (Chatterjee, 1991).

Simetrik bobinlerle karşılaşıldığında aynı boyutlar için asimetrik bobinler daha fazla indüktans sağlar. Kabin altına yerleştirilen ferit çubuklar manyetik alanın tencere ile olan düzeltme faktörünü artırmaktadırlar. Bu tür bobinlere asimetrik bobin denir. Bu çalışmada beş rotlu bir tasarım yapılmıştır. Şekil 2'de ferit çubukların yerleştirilme geometrisi gösterilmektedir.

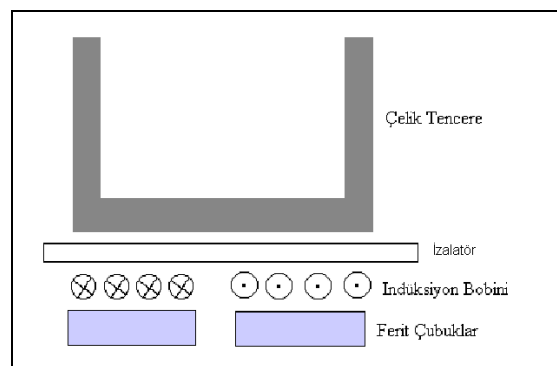


Şekil 2. Ferit çubuklarının yerleştirilme geometrisi

### 2. 1. İNDÜKSİYON BOBINİNİN YÜKLÜ MODELLƏNMESİ

İndüksiyon ısıtma uygulamalarında invertörleri verimli bir şekilde tasarlamak için kap ile doğru şekilde yüklenen düz indüktörleri tanımlayan modellere ihtiyaç vardır. Elektromanyetik modelleme değişken geometri, malzeme ve çalışma frekansları sebebiyle 3-boyutlu bir problemdir (Forcest et al., 2000).

Şekil 3'de yüklü bir pancake bobin sistemi görülmektedir. Bu çalışmada sistem için yaklaşık bir eşdeğer devre modeli oluşturulmuştur.



Şekil 3. Yüklü bir indüksiyon bobini

Şekil 4' te verilen basitleştirilmiş eşdeğer devre modelinde  $R_p$  bobin direncidir. Çalışma frekansı deri olayı etkisinden dolayı sargıdaki kaybı etkiler fakat çıkış gücüne önemli bir etkisi olmaz. İyi bir tasarımda  $R_p$  mümkün olduğunca küçük olmalıdır.  $R_f$  çekirdek kaybı rezistansıdır. Ferit malzemeye karşılık düşen eşdeğer devre direncini gösterir. Seçilen malzeme ile bu oldukça büyük yapılabılır. Çıkış gücünü fark edilir bir şekilde etkilemez. Bu tasarım için  $R_f$  ihmali edilmiştir.  $L_p$  bobinin sıyrıntı endüktansıdır. İdealde  $L_p$  sıfır olmalıdır. Böylece bobin tarafında üretilen alan çelik kaba aktarılır. Herhangi bir tasarımda  $L_p$  bobin kap kombinasyonuna bağlıdır.  $L_p$ 'yi küçütmek için çelik kabın çapı bobinin dış çapından küçük veya eşit olmalıdır. Ayrıca bobin ve kap arasındaki aralık mümkün olduğunca küçük tutulmalıdır.  $L_m$  ortak endüktansı ifade eder. Kuplajlı alandan dolayı oluşur.  $L_p$ 'de olduğu gibi iyi bir tasarım için bobin ile çelik kap arasındaki aralık mümkün olduğunca küçük tutulmalı, kullanılan kap çapı bobin çapından küçük ya da eşit olmalıdır.  $L_m$  aynı zamanda çelik kabın geçirgenliğine bağlıdır. Yüksek geçirgenlikli malzemeler daha yüksek kuplajlama verecektir.  $R_s$  eşdeğer yük direncidir ve modelin en önemli parametrelerinden biridir. Çıkış gücünü etkileyen faktörlerin başında gelir.  $R_s$  direnci kaptaki çekirdek kaybını, yani ısıtmayı ifade eder.

Manyetik olmayan bir kapta toplam ısınma Eddy akımlarından dolayı oluşur. Paslanmaz çelik kaplarda histerezis kaybı ihmali edilebilir. Şekil 4'de verilen eşdeğer devrenin empedansı denklem (1) deki;

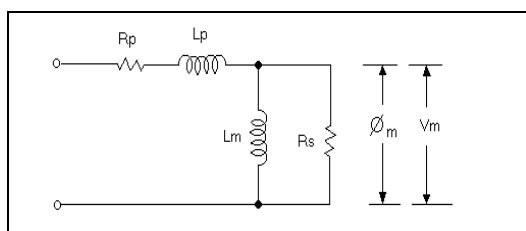
$$Z = R_p + j\omega L_p + \frac{j\omega L_m R_s^2 + \omega^2 L_m^2 R_s}{R_s^2 + \omega^2 L_m^2} \quad (1)$$

gibi olur. Buradan devrenin omik direnci (2)'den, endüktansı ise denklem (3)'den;

$$R_1 = R_p + \frac{\omega^2 L_m^2}{R_s^2 + \omega^2 L_m^2} R_s \quad (2)$$

$$L_1 = \frac{\omega R_s^2}{R_s^2 + \omega^2 L_m^2} L_m \quad (3)$$

bulunur.



Şekil 4. Basitleştirilmiş eşdeğer devre modeli

Burada bobin kap kombinasyonu için basit bir eşdeğer devre modeli önerilmiştir. Eşdeğer devre parametreleri tek bir frekansta bobin üzerinde yapılan basit ölçümler yoluyla hesaplanmaktadır. Bobine ilişkin endüktans değerleri bir LCR metre ile ölçülmüştür. Ölçüm ve hesaplama sonuçları Tablo 1'de verilmiştir. Görüleceği gibi endüksiyon ısıtma sistemindeki eşdeğer devre endüktansı  $L_1 = 28 \mu H$  dir. Temel ölçüm ve hesaplamlardan eşdeğer devre direnci  $R_1 = 1.4 \Omega$  olarak bulunmuştur.

Tablo 1. İndüksiyon Isıtma Bobinine Ait Endüktans Değerleri ve Eşdeğer Devre Direnci

Eşdeğer Devre Endüktansı Değerleri				Eşdeğer devre direnci
Yüksüz Bobin		Yüklu Bobin		1.4 Ω
Simetrik	Asimetrik	Simetrik	Asimetrik	
94 μH	135μH	25μH	28μH	

### 3. YARIM KÖPRÜ SERİ REZONANS İNVERTÖR

İndüksiyon ısıtma sistemlerinde istenilen frekansta AC inverter devreleri yardımıyla elde edilebilmektedir. En yaygın olarak tek anahtarlı, yarım köprü ve tam köprü invertörler kullanılmaktadır. Tek anahtarlı invertörler genellikle rezonans elemanlarındaki zorlamalardan dolayı dezavantaja sahiptir. Bu zorlamalar akım ve/veya gerilim zorlamaları şeklinde dir. Özel uygulamalara bağlı olarak bu zorlamalar ortadan kaldırılamaz. Bu da indüksiyon ısıtma uygulamalarında bir problem olarak ortaya çıkar (Po<sup>1</sup> Wolder and Komatsu, 1998). Tek anahtarlı invertörler de çıkış gücünün kontrol aralığı teorik olarak sınırlıdır. Ayrıca anahtar gerilimi her zaman kaynak gerilimi Vdc den daha büyütür (genellikle Vdc'nin 3 veya 4 katıdır). İdeal köprü invertörlerde ise çıkış gücü kontrol aralığının teorik bir sınırı yoktur. Anahtar gerilimi kaynak gerilimi Vdc ile sınırlıdır (Chatterjee and Ramarayanan, 1993). Literatürlerde de bahsedildiği üzere köprü invertörler bazı durumlarda daha iyi çalışma olanağı sağlar. Tam köprü invertör dört anahtarlama elemanından oluşur. Maliyetler göz önüne alındığında yarım köprü invertörler bünyesinde iki adet anahtar barındırdığı için bu tür çalışmalarında kullanılması daha avantajlıdır.

Yarım köprü seri rezonans invertör iki anahtardan oluşur. Yük üzerinde değişken gerilim elde edebilmek için her bir yarım periyotta anahtarlardan biri iletme sokulur. Devrede ilk önce  $S_1$  anahtarı iletme sokulur. Bu devrede çıkış frekansı  $f_0$  (anahtarlama frekansı) olduğuna göre,  $T = 1/f_0$  periyodunun ilk yarısında  $S_1$  kapalı ve  $S_2$  açık, ikinci yarısında ise  $S_2$  kapalı ve  $S_1$  açık olacaktır.

Dolayısıyla yük üzerinde iki basamaklı gerilim elde edilir. Anahtarlarla paralel geri besleme diyonotları kullanılmıştır. Bu diyonotlar yükün endüktif olduğu durumlarda yükte biriken enerjiyi kaynağa geri verebilmek için kullanılır.

Son yıllarda geliştirilen ve önemli bir anahtar olan IGBT'ler en çok tercih edilen elemanlar arasında gelir. Yüksek akım ve gerilim anahtarlama kapasitesi, küçük gerilim düşümü, yüksek anahtarlama hızı ve ideal kontrol özelliğine sahiptir. Bu nedenlerle sunulan sistemde anahtarlama elemanı olarak IGBT tercih edilmiştir.

Sıfır akım anahtarlama tekniğinin kullanılması, yani anahtarların sıfır akımda iletme ve yalıtma sokuşması anahtarlama kayiplarını önemli ölçüde azaltmıştır. Bu işlem, rezonans frekansının periyodu anahtarlama frekansının  $t_{on}$  süresi eşit tutularak yapılmıştır. Böylelikle her  $t_{on}$  süresi zarfında akım  $S_1$  anahtarı ve  $D_1$  diyonot üzerinden yarım periyotta osilasyon yapar. Diğer yarım periyotta ise bu işlem  $S_2$  anahtarı ve  $D_2$  diyonutunun iletimde olduğu anda gerçekleşir.

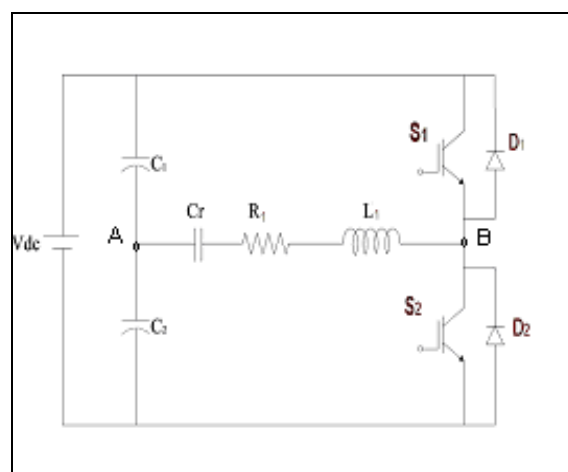
#### 4. DENEYSEL SONUÇLAR VE DEĞERLENDİRİLMESİ

Bu çalışmada yarı iletkenler anahtar sayısının azlığı ve denetim kolaylığı sebebiyle yarım köprü rezonans invertör devresi kullanılmıştır. Şekil 5'deki yapıda görüldüğü gibi  $C_1$  ve  $C_2$  olmak üzere 250 V, 100  $\mu$ F lik iki adet eşdeğer elektrolitik alüminyum kondansatör kullanılmıştır. Bunlar invertör devresini besleyen gerilim bölücü kondansatörlerdir. Aynı zamanda filtreleme görevi üstlenirler. Yüksek kapasitelerinden dolayı rezonans devresine etkileri yoktur. Yarı iletken anahtar olarak IXGH 38N60U1 IGBT kullanılmıştır. Bu anahtar bünyesinde ters bloklama diyonot da bulunmaktadır. Bu nedenle ayrıca diyonot kullanılmamıştır. Emetör kolektör gerilimi  $V_{CES} = 600V$ , kollektör akımı  $I_C = 76 A$  ve kollektör emetör saturasyon gerilimi  $V_{CE(sat)} = 1.8 V$  tur. Şekil 5'te görüldüğü gibi devre parçalı iki gerilim kaynağı olarak da düşünülebilir.

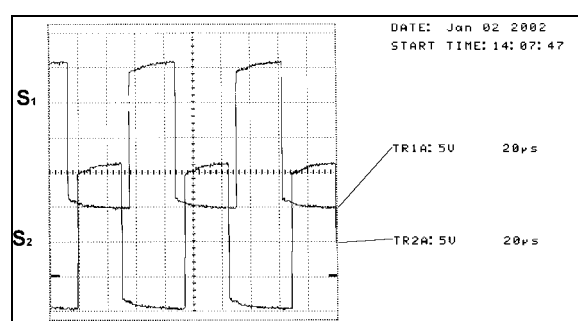
Invertör devresinin girişine uygulanan kaynak gerilimi tam doğrultulmuş 90 Voltluk bir DC gerilimidir. Yarım köprü invertörler bilindiği gibi yarı iletken iki anahtardan oluşur. Şekil 5'deki  $S_1$  ve  $S_2$  anahtarları sırasıyla sürürlerek iki yönlü akım geçişleri sağlanır.

IGBT anahtarının hızlı bir şekilde yalıtma girmesi için yalıtma geçerken negatif bir sinyalle

tetiklenmesi önemlidir. Bu nedenle tetikleme sinyalleri Şekil 6'da görüldüğü gibi off durumunda -5 volt, on durumunda ise +15 volt seviyelerinde çıkış veren EXB841 entegre sürücüsünden alınmıştır. Entegre sürücüler küçük boyut, montaj kolaylığı ve daha az güç harcamalarından dolayı tercih edilirler. Yarım köprü invertör devrelerinde dikkat edilmesi gereken noktalardan biri de yalıtım problemidir. Kullanılan sürücü içerisinde optokoplör bulunduğu için güç devresi ve kontrol devresi birbirinden yalıtılmıştır. Burada ilk önce  $S_1$  anahtarı 32  $\mu$ s iletimde 76  $\mu$ s yalıtmadır.  $S_1$  anahtarı iletmeden çıktıktan 6  $\mu$ s sonra  $S_2$  anahtarı devreye girer.

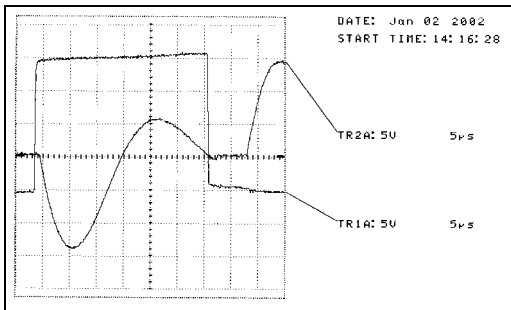


Şekil 5. Yarım köprü seri rezonans devresi



Şekil 6. Sürücü sinyalleri

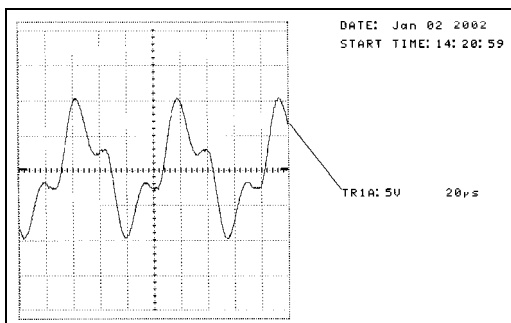
Şekil 7'de görüldüğü gibi, anahtar akımın sıfır olduğu durumda iletme alınmış veya yalıtma sokuşmuştur. Bu işleme yumuşak anahtarlama denir ve anahtarlama kayipları bu teknik sayesinde büyük ölçüde azalır. Kare dalga formundaki kısım anahtarlama sinyalini, sinüsoidal formdaki kısım ise direnç üzerindeki gerilimi dolayısı ile yükten geçen akımın dalga şeklärini gösterir.



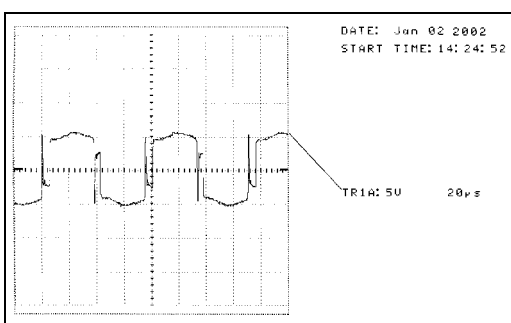
Şekil 7. Anahtar tetikleme sinyali ve içinden geçen akım

Şekilde görüldüğü gibi anahtarların iletim süresi ( $t_{on} = 32 \mu\text{s}$ ) yaklaşık olarak rezonans frekansının periyoduna eşittir. Rezonans frekansı 30 KHz, periyodu ise  $T = 32 \mu\text{s}$  dir. Anahtarlama frekansı 13.15 KHz periyodu ise  $T = 76 \mu\text{s}$ 'dir. Burada sıfır akım anahtarlama, anahtarların  $t_{on}$  süresinin rezonans frekansı periyoduna eşit tutmasıyla sağlanmıştır.

Şekil 8'de rezonans kondansatörünün üzerindeki gerilimin dalga şekli görülmektedir. Rezonans kolu üzerindeki akımın efektif değeri ise 3.36 Amperdir. Rezonans kondansatörünün geriliminin efektif değeri ise 36.6 Volt olarak ölçülmüştür. Şekil 9'da rezonans elemanları ( $R$ ,  $L$ ,  $C_r$ ) üzerindeki gerilimin dalga şekli görülmektedir. Gerilimin dalga formu kare dalgadır.



Şekil 8. Rezonans kondansatörünün gerilimi (CH1:10 x 5 Volt)



Şekil 9. Rezonans elemanları (A-B) üzerindeki gerilimin dalga şekli (CH1:10 x 5 Volt)

Yarım köprü seri rezonans invertörlerde rezonans devrenin etkisine bağlı olarak çıkış akımı ve gerilimi sinusoidal bir yapıya sahiptir. Dolayısı ile rezonans olmayan invertörlerde oluşan elektromanyetik parazitler bu invertör sistemi sayesinde önemli ölçüde azaltılmış olacaktır

İndüksiyon ısıtma sisteminde bilindiği gibi ısı direkt kap üzerinde oluşur. Bu nedenle termal verimi yüksek bir sistemdir. Tablo 2'de kabin zamana bağlı ısınma verileri görülmektedir. Zamana bağlı sıcaklık değerlerini ölçmek için çelik tencerenin iç tabanına ısı ölçer bir sensör yapıtırlılmıştır. Sıcaklık değerleri bu sensörün bağlı olduğu ölçü aletinden ölçülerek kaydedilmiştir. Tablo 2'deki verilerden yararlanarak sistemden kaba aktarılan güç, denklem 4 yardımıyla hesaplanabilir. Kapasite m = 1.2 kg. çelik için  $C_p \approx 468 \text{ J/kg}\cdot\text{K}$  dir.

Tablo 2. Yükün zamana bağlı sıcaklık değerleri

Isıtma Süresi (dk)	Sıcaklık (°C)
0	20
5	36
10	42
15	47
20	50
25	52

$$Q = m \cdot C_p \cdot \Delta t \quad (4)$$

Tencereye aktarılan enerji 17971.2 Joule bulunur. Bu enerji watt cinsinden ifade edilirse  $P_A = 11.98 \text{ Watt}$  bulunur. Denklem 5'den sistemin gücü bulunabilir.

$$P_V = I^2 \cdot R \quad (5)$$

Rezonans invertörün kolu üzerinden akan akımın efektif değeri 3.36 Amper olarak ölçülmüştür. Eşdeğer devre direnci ise  $1.4\Omega$  dur. Denklem 5'den  $P_V = 15.8 \text{ Watt}$  bulunur.

Yukarıdaki sonuçlardan sistemin verimini denklem 6'dan hesaplarsak.

$$\eta = \frac{P_A}{P_V} \cdot 100 \quad (6)$$

$$= \% 75.8 \text{ bulunur.}$$

Yukarıdaki eşitliklerde;

- $m$  = Kütle (kg)
- $Q$  = Isı enerjisi (joule)
- $P_A$  = Alınan güç (Watt)
- $P_V$  = Verilen güç (Watt)
- $t$  = Zaman (saniye)
- $\eta$  = Verim

şeklindedir.

Sistemin verimi gerçek veriminden biraz daha düşük çıkabilir. Bunun sebebi ise havaya ve tencerenin kanatçıklarına olan ısı transferi dikkate alınmamıştır. Yine de diğer fırınlarla karşılaştığımız zaman oldukça iyi bir verimdir.

## 5. SONUÇ

Bu çalışmada mutfak uygulamaları için indüksiyon ısıtma sistemi tasarlanmıştır. İndüksiyon ısıtma sisteminde pancake tipi bobinler mutfak uygulamaları için çok uygundur. Bobin altına yerleştirilen ferit malzeme yardımıyla oldukça yüksek kuplajlama faktörü sağlanmıştır.

Gazlı ve rezistanslı fırnlarda verim % 20-40 civarlarında olmaktadır. Bunun sebebi ise isının direkt yük üzerinde değil de dolaylı olarak aktarılmasıdır. Fakat indüksiyon ısıtma sistemlerin de ise ısı direkt yükün üzerinde oluştugunda verimli bir ısıtma metodudur. Bu çalışma için verim % 75.8 bulunmuştur.

Sunulan sistem yardımıyla indüksiyon ısıtmanın ev tipi uygulamalarda verimli bir şekilde kullanılabileceği gösterilmiştir. Rezonans invertör ve sıfır akım anahtarlama tekniği sayesinde anahtar kayıpları azaltılmış buna bağlı olarak elektromanyetik parazitler (EMI) önlenmiştir. Bu sistem; verimli, temiz, güvenli, ısı kontrolün kolay, hassas ve ısıtma zamanının kısa olması gibi kullanım avantajlarına sahiptir.

## 6. KAYNAKLAR

Chatterjee, K. 1991. Desing of Induction Heaters, M.Sc.(Engg.) Thesis, Indian Institute of Science, Bangalore, November.

Chatterjee, K. and Ramarayanan, V. 1993. A Comparative Study of Inverter Circuits for Heating, Intrn. Power Engg. Confr.

Davies, J. 1979. The Induction Heating Handbooks, McGraw-Hil Book Company (UK).

Forcest, F. Laboure, E., Costa, F., Gaspard, J. Y. 2000. Principle of a Multi-Load/Single Converter System for Low Power Induction Heating, IEEE Transactions On Power Electronics, 15 (2), 223-230.

Heaviside, O. 1884. The Induction on Current in Cores the Electricions, May. (3), 583-587.

Hirota, I., Omori., H. and Nakokas, M. 1996. Practical Evaluations of a ZVS-PFM Quasi-Resonant Hihg-Frequency Inverter Using a New Generation IGBT for an Induction-Heated Cooking Appliance, Int. J. Electronics, Volume 80, No 2, Page 329-340.

Körögölu, S. 2002. Bir Fazlı Seri Rezonans İndüksiyon Isıtma Sistemi Tasarımı, Pamukkale Üniversitesi, Fen Bilimleri Enstitüsü, Yüksek Lisans Tezi.

Ogiwara, H., Michihira, M. and Nakaoka, M. 1993. Zero Current Soft Switched High Frequency Inverter For Induction Heating Using Bipolar Mode Normally off SITs, UPEC'93, 581-584.

Po<sup>l</sup>, W. and Komatsu W. 1998. A Simple and Reliable Class E Inverter for Induction Heating Applications, Int. J. Electronics, Vol: 84, No:2, 157-165.

Sazak, B. S. 1997. A New Unity Power Factor Quasi-Resonant Induction Heater, Ph.D. Thesis, University of Glamorgan, U.K.

Sazak, B. S. ve Jayne, M. G. 1999. Sifir Akım Anahtarlama Tekniğinin Buck Konvertöre Uygulanması, YTÜD 1999/1 Araştırma Makalesi, 33-42.

Wang, S., Izaki, K., Hirota, I., Yamashita, H., Omori, H., and Nakaoka, M. 1998. Induction-Heatet Cooking Appliance Using Quasi-Resonant ZVS-PWM Inverter With Power Factor Correction, IEEE Transactions on Industrial Electronics, Vol 34, No 4, July/August

Wong, L. K., Leung, F. H. and Tam, P. K. S. 1997. A Simple Large Signal Nonlinear Modeling Approach For Fast Simulation Of Zero Current Switching Quasi Resonant Converters, IEEE Transactions On Power Electronics, 12 (3), 437-442.